

УДК 532.526.3

## ВЛИЯНИЕ ВЫДУВА И ОТСОСА ГАЗА НА НЕУСТОЙЧИВОСТЬ СВЕРХЗВУКОВОГО ПОГРАНИЧНОГО СЛОЯ

© 2023 г. А. В. Новиков<sup>a,b,\*</sup>, А. О. Образ<sup>a,b,\*\*</sup>, Д. А. Тимохин<sup>b,\*\*\*</sup>

<sup>a</sup>Центральный аэрогидродинамический институт им. проф. Н. Е. Жуковского,  
Жуковский, Московская обл., Россия

<sup>b</sup>Московский физико-технический институт (национальный исследовательский университет),  
Долгопрудный, Московская обл., Россия

\*E-mail: novikov.av@mpt.ru

\*\*E-mail: obraz.ao@mpt.ru

\*\*\*E-mail: timokhin.da@phystech.edu

Поступила в редакцию 21.09.2022 г.

После доработки 29.09.2022 г.

Принята к публикации 11.10.2022 г.

Представлены результаты исследования устойчивости пограничного слоя на плоской пластине с участком выдува/отсоса газа через стенку по нормали к поверхности при большом сверхзвуковом числе Маха набегающего потока. Численное моделирование ламинарного обтекания пластины с участком распределенного выдува/отсоса фиксированной интенсивности производится с помощью интегрирования уравнений Навье–Стокса. Неустойчивые возмущения в искаженном выдувом/отсосом пограничном слое анализируются в рамках линейной теории устойчивости и метода  $e^N$  для течений сжимаемого газа. Рассмотрены высокочастотные возмущения, относящиеся к плоской второй моде пограничного слоя, наиболее неустойчивые при высоких скоростях. Показано, что выдув/отсос газа приводит к немонотонному изменению инкрементов роста возмущений с появлением областей стабилизации/дестабилизации по сравнению со случаем без выдува/отсоса.

**Ключевые слова:** сверхзвуковые течения, выдув, отсос, линейная теория устойчивости

**DOI:** 10.31857/S0568528122600588, **EDN:** NTERPQJ

Одним из способов управления устойчивостью пограничного слоя является организация участков выдува/отсоса газа через проницаемую поверхность [1]. В естественных условиях (низкий фон турбулентности в набегающем потоке, отсутствие значительной шероховатости) в плоском дозвуковом пограничном слое доминирующим типом неустойчивостей являются волны Толлмина–Шлихтинга. Известно, что нарастание возмущений данного типа неустойчивостей в пограничном слое эффективно подавляется при помощи отсоса пограничного слоя [2]. Оказывается, что при достаточной интенсивности отсоса можно полностью подавить развитие возмущений типа волн Толлмина–Шлихтинга. При сверхзвуковых скоростях набегающего потока возможно появление новых неустойчивых мод пограничного слоя. Например, для течений с  $M > 4$  появляется так называемая вторая мода возмущений (волны Мэка) [3]. С увеличением числа Маха набегающего потока возмущения второй моды могут становиться доминирующим типом неустойчивости пограничного слоя и вызывать ламинарно-турбулентный переход. Возмущения второй моды имеют акустическую природу (иногда такие возмущения называют “запертой акустической волной”). В отличие от возмущений первой моды, которые являются аналогом волн Толлмина–Шлихтинга при сверхзвуковых скоростях течения и связаны с обобщенной точкой перегиба внутри пограничного слоя, волны Мэка не зависят от обобщенной точки перегиба. Кроме того, акустическая природа возмущений второй моды приводит к значительно большей чувствительности инкрементов роста к изменению толщины пограничного слоя.

В настоящее время достаточно подробно изучено влияние таких факторов, как температура стенки, продольный градиент давления, выдув/отсос пограничного слоя на локальные характеристики волн неустойчивостей в сверхзвуковых пограничных слоях. Обзор данных эффектов представлен в работе [4]. Так, охлаждение стенки приводит к стабилизации возмущений первой

моды и дестабилизации возмущений второй моды. Благоприятный ( $dp/dx < 0$ ) градиент давления оказывает стабилизирующее влияние для всех типов возмущения. Отсос пограничного слоя также приводит к уменьшению инкрементов роста.

В работах [5, 6] исследовалось влияние отсоса пограничного слоя на характеристики неустойчивых волн в сверхзвуковых пограничных слоях. Расчеты производились в фиксированной точке (при заданном числе Рейнольдса) и исследовалось влияние отсоса на широкий диапазон частот неустойчивостей. Однако физическое усиление возмущений в пограничном слое имеет интегральный характер, и необходимо оценивать влияние указанных факторов на всем протяжении области неустойчивости для рассматриваемых возмущений. При этом сама область интегрального усиления (кривая нейтральной устойчивости) также может изменяться. В работе [7] при числе Маха  $M = 1.8$  численно исследовалась устойчивость пограничного слоя на пластине с небольшим приподлением передней кромки при помощи линейной теории устойчивости и прямого численного моделирования. Производились расчеты при помощи  $e^N$  метода. Полученные распределения огибающих  $N$ -факторов свидетельствовали о возможном немонотонном влиянии распределенного отсоса на огибающие кривые усиления.

В данной работе проводятся исследования устойчивости для сверхзвукового обтекания плоской пластины при числе Маха  $M_\infty = 6.0$  с участком выдува/отсоса различных интенсивностей. В рамках линейной теории устойчивости и метода  $e^N$  произведены расчеты инкрементов роста неустойчивых волн второй моды (волн Мэка), а также интегральное усиление возмущений в зависимости от интенсивности отсоса. Показано, что наличие участка выдува/отсоса газа приводит к немонотонному изменению огибающих кривых усиления неустойчивых мод. В частности, существуют режимы выдува газа, приводящие к стабилизации пограничного слоя, что может использоваться для ламинаризации обтекания.

## ПОСТАНОВКА ЗАДАЧИ И МЕТОД ИССЛЕДОВАНИЯ

Моделирование ламинарного течения около пластины выполняется путем решения уравнений Навье–Стокса для идеального сжимаемого газа. В настоящей работе рассматривается плоская пластина под нулевыми углами атаки и скольжения. Применяется двумерная формулировка уравнений в консервативной безразмерной форме. Координаты нормируются на характерную длину  $L^*$ ; зависимые переменные  $\{u, v, T\}$  – на соответствующие значения в набегающем потоке  $\{U_\infty^*, T_\infty^*\}$ , а давление  $p$  – на удвоенный скоростной напор  $\rho_\infty^* U_\infty^{*2}$ . Здесь и далее верхний индекс \* означает размерные величины.

Уравнения Навье–Стокса интегрируются с помощью авторского пакета расчетных программ [8], который реализует неявный метод конечного объема сквозного счета с аппроксимацией второго порядка по пространству и времени. Используется TVD-схема с приближенным решателем задачи распада разрыва методом Роу. Реконструкция зависимых переменных на границах ячеек сетки выполняется с использованием подхода WENO3, который эффективно дает аппроксимацию по пространству конвективных слагаемых третьего порядка.

Характеристики устойчивости пограничного слоя исследуются в рамках линейной теории устойчивости и  $e^N$  метода с использованием авторского кода [9]. Рассматривается усиление неустойчивых волн второй моды (моды Мэка), распространяющихся в пограничном слое, полученным при решении уравнений Навье–Стокса. В рамках локально-параллельного приближения рассматриваются возмущения газодинамических величин вида  $q(y) \exp(i\alpha x + i\beta z - i\omega t)$ . Здесь  $\alpha = \alpha_r + i\alpha_i$  – комплексное волновое число, получающееся в результате численного интегрирования однородной краевой задачи на собственные значения;  $\alpha(\omega; x)$  зависит от круговой частоты волны  $\omega$  и продольной координаты  $x$  как от параметра. В настоящей работе изучаются только плоские волны второй моды Мэка с поперечным волновым числом  $\beta = 0$ , которые доминируют (имеют наибольшее интегральное усиление) над другими типами неустойчивых мод на рассматриваемом режиме течения [10]. Если  $\alpha_i < 0$ , то амплитуда волны растет вниз по потоку с инкрементом  $\sigma(\omega; x) = -\alpha_i$ , а ее интегральное усиление характеризуется  $N$ -фактором  $N(\omega; x) =$

$$= \int_{x_0(\omega)}^x \sigma(\omega; x) dx, \text{ где } x_0 \text{ – точка потери устойчивости, лежащая на нижней ветви нейтральной кривой.}$$

Выдув/отсос пограничного слоя через стенку моделируется на конечном участке, а интенсивность задается коэффициентом отсоса  $c_q(x) = \rho_w V_w \sqrt{2\text{Re}_{\infty,x}}$ , где  $\text{Re}_{\infty,x} = x\text{Re}_{\infty,L}$ . В данной работе в качестве масштаба длины используется величина  $L = 1$  м (в этом случае размерная длина пластины и длина расчетной области также равны 1 м). Положительные значения коэффициента  $c_q$  соответствуют выдуву газа по нормали от стенки внутрь пограничного слоя, отрицательные значения соответствуют отсосу газа из пограничного слоя внутрь стенки. Выдув/отсос газа задается в области  $x_{s1} \leq x \leq x_{s2}$ ,  $x_{s1} = 0.26$ ,  $x_{s2} = 0.8$ , что соответствует положению профилированного участка на модели волнообразной пластины в экспериментах [10] (параметры течения в данной работе согласуются с условиями в аэродинамической трубе [10], так как в будущем планируется произвести эксперименты, подтверждающие результаты расчетов настоящей работы). Выход на постоянное значение коэффициента  $c_q$  происходит плавно в достаточно узких областях  $0.26 \leq x \leq 0.3$  и  $0.76 \leq x \leq 0.8$  по формуле  $c_q = c_q^{\max} \cos(\pi|x - x_0|/D)$ , где  $D = 0.04$  – протяженность переходных областей,  $x_0 = \{0.26; 0.76\}$ . Расчеты производятся для случаев постоянного коэффициента отсоса  $c_q = \text{const} = \{0.0, \pm 0.4, \pm 0.8\}$ . Отметим, что фиксированное значение  $c_q$  сохраняет автомодельность профилей среднего течения [10]. В данной работе производились расчеты для чисел Рейнольдса по длине пластины  $\text{Re} = 2.1 \times 10^7$ . Для выбранного режима течения реализуются характерные  $N$ -факторы  $N \approx 10$ , что соответствует критическим значениям для начала ламинарно-турбулентного перехода в естественных условиях полета в атмосфере [4].

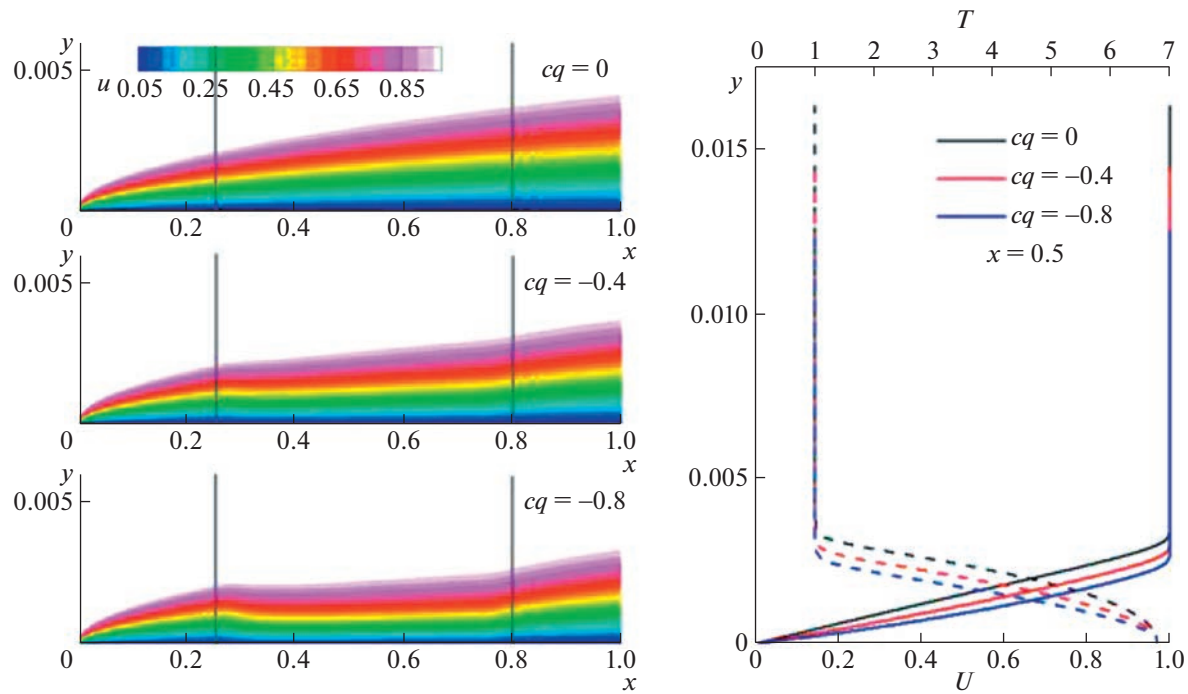
Рассматривается сверхзвуковое обтекание острой плоской пластины под нулевыми углами атаки и скольжения при числе Маха набегающего потока  $M_\infty = 6$ , показателе адиабаты  $\gamma = 1.4$ , постоянном числе Прандтля  $\text{Pr} = 0.72$  и статической температуре набегающего потока  $T_\infty^* = 43.14$  К. Поверхность пластины изотермическая с температурой  $T_w^* = 293$  К ( $T_w = 6.79$ ). Эти параметры потока относятся к экспериментам по исследованию устойчивости пограничного слоя над волнообразной пластиной [10] в аэродинамической трубе Транзит-М ИТПМ СО РАН.

Расчетная область представляет собой прямоугольник размерами  $[0, 1] \times [0, 0.21]$  с ортогональной структурированной многоблочной сеткой из  $3001 \times 401$  узлов в направлении вдоль пластины и по нормали к стенке. При этом в серединном сечении пластины на пограничный слой приходится около 240 узлов, по вертикали в пограничном слое шаг сетки является равномерным. Данная сетка является достаточно подробной и будет использоваться в дальнейшем для расчетов развития возмущений методом прямого численного моделирования. Отметим, что сходимость по сетке ламинарного поля течения достигается при значительно меньших сеточных разрешениях (максимальная разность в профиле скорости на сетках  $400 \times 300$  и  $800 \times 400$  узлов не превосходит 0.1%). Границные условия задаются следующие: условие прилипания – на обтекаемой поверхности вне области выдува/отсоса; условие набегающего потока – на входной и верхней границах; линейная экстраполяция изнутри области для зависимых переменных – на выходной границе; в области выдува/отсоса на стенке граничное условие для вертикальной компоненты скорости модифицируется при помощи задания массового потока газа  $[\rho v]_w(x) = c_q / \sqrt{2\text{Re}_{\infty,x}}$ .

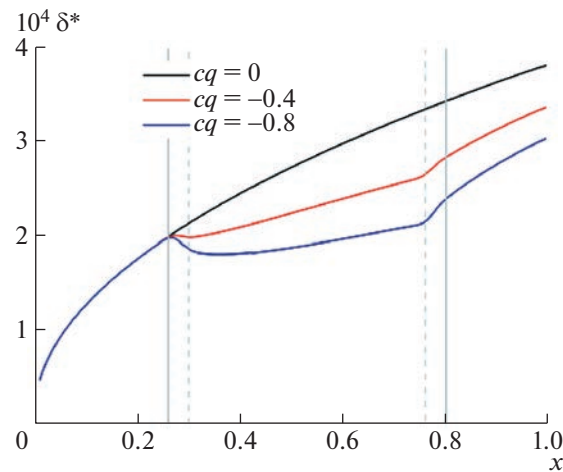
Исследование проводится в два этапа. Сначала с помощью метода установления вычисляется поле стационарного ламинарного обтекания пластины для различных интенсивностей выдува/отсоса. Затем из полученного двухмерного стационарного поля извлекаются профили пограничного слоя в различных сечениях по  $x$  и решается задача линейной теории устойчивости. В результате для наиболее неустойчивых волн рассчитываются распределения инкрементов роста  $\sigma(x)$  и коэффициенты интегрального усиления ( $N$ -факторы).

## РАСЧЕТ ЛАМИНАРНЫХ ПОЛЕЙ ТЕЧЕНИЯ

Результаты моделирования стационарного обтекания пластины в рамках уравнений Навье–Стокса при различных интенсивностях отсоса показаны на рис. 1. Представлены поля продольной скорости  $u$  в пристенной области, причем для наглядности вертикальная координата  $y$  расстояна в 10 раз, а начало и конец участка отсоса отмечены пунктирными линиями. Также показаны профили скорости  $u$  и статической температуры  $T$  в среднем сечении при  $x = 0.5$ . Видно, что выдув/отсос газа достаточно сильно изменяет толщину пограничного слоя, но при этом форма профилей остается подобной случаю без отсоса.



**Рис. 1.** Поля продольной скорости  $u$  (слева) и профили пограничного слоя в сечении  $x = 0.5$  (справа) при различных интенсивностях отсоса.



**Рис. 2.** Толщина вытеснения для случаев  $c_q = \{0.0, -0.4, -0.8\}$ .

### РАСЧЕТЫ УСТОЙЧИВОСТИ ДЛЯ СЛУЧАЯ ОТСОСА ПОГРАНИЧНОГО СЛОЯ

Производились расчеты ламинарного обтекания пластины с участком отсоса пограничного слоя интенсивностью  $c_q = \{0.0; -0.4; -0.8\}$ . На рис. 2 представлено влияние отсоса газа на толщину вытеснения пограничного слоя.

На основе профилей пограничного слоя вычисляется нейтральная кривая устойчивости – в каждом сечении по  $x$  определяется диапазон частот наиболее неустойчивых волн. Для различных фиксированных частот  $\omega$  из этого диапазона при каждом  $x$  вычисляются инкременты роста волн  $\sigma(\omega, x)$ , а затем интегральные усиления  $N(\omega, x)$ . Пример получаемых кривых для волны с частотой  $\nu^* = \frac{\omega^*}{2\pi} = 110$  кГц показан на рис. 3. Видно, что вблизи начала участка отсоса инкрем-

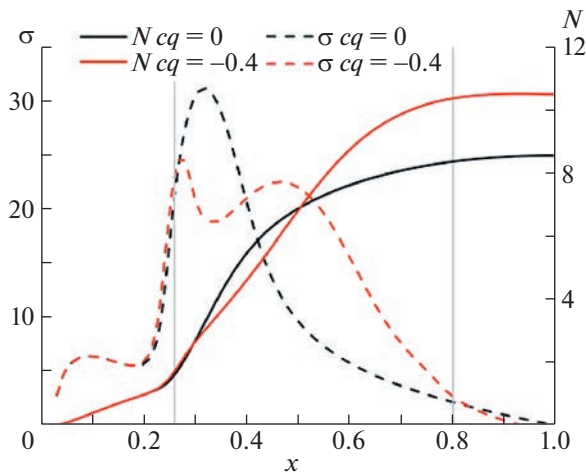


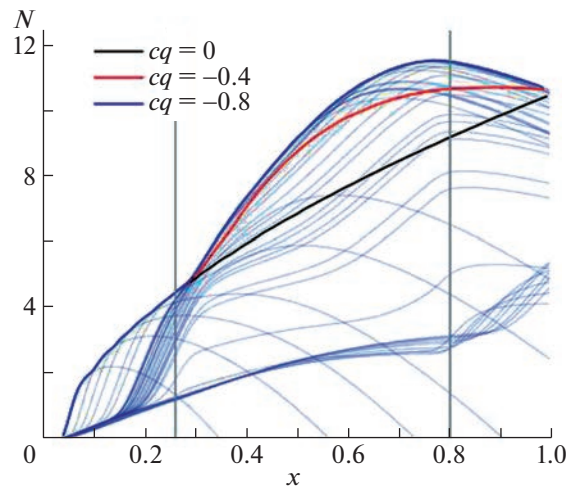
Рис. 3. Распределение инкрементов роста  $\sigma$  и интегрального усиления ( $N$ -фактора) неустойчивой волны второй моды с частотой  $\omega = 296.8$  при распространении над пластиной без отсоса ( $c_q = 0.0$ ) и над участком с коэффициентом отсоса  $c_q = -0.4$ . Вертикальные линии отмечают начало и конец участка с отсосом.

мент  $\sigma(\omega_l; x)$  резко падает по сравнению со случаем без отсоса (рис. 3, пунктирные линии), т.е. локально проявляется известный эффект стабилизации пограничного слоя. Однако инкремент остается положительным  $\sigma_{c_q} > 0$ , и над участком отсоса рост волны продолжается, причем по сравнению с пластиной без отсоса область нарастания оказывается более протяженной.

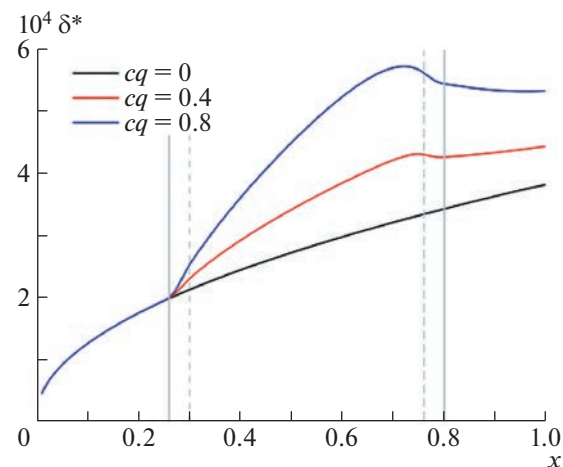
Такое поведение инкремента роста  $\sigma_{c_q}(\omega_l; x)$  волн фиксированной частоты объясняется изменением толщины  $\delta(x)$  пограничного слоя над участком отсоса. Известно, что наиболее неустойчивая волна второй моды имеет длину волны  $\lambda_*(x) \approx 2\delta(x)$ . Ее частота  $-\omega_k = 2\pi u_c / \lambda_* \approx \pi u_e / \delta$ , где  $u_c \approx 0.9u_e$  – типичная фазовая скорость возмущений второй моды. Она связана со скоростью на границе пограничного слоя  $u_e$ . Тогда, если зафиксировать частоту волны  $\omega_l$ , то при некоторой толщине пограничного слоя  $\delta_*$  будет наблюдаться максимальный инкремент  $\sigma_*$ , а при отстройке толщины  $\delta \neq \delta_*$  инкремент будет падать. В случае отсоса пограничного слоя через стенку скорость  $u_e$  практически не меняется. При этом происходит существенное изменение толщины  $\delta_{c_q} < \delta_{c_q=0}$  (см. профили на рис. 1), поэтому у волны фиксированной частоты  $\omega_l$  отстраивается инкремент роста  $\sigma_{c_q}(\omega_l; x) \neq \sigma_{c_q=0}(\omega_l; x)$ . Из рис. 3 видно, что в положениях по  $x$  в окрестности верхней ветви кривой нейтральной устойчивости возможно  $\sigma_{c_q}(\omega_l) > \sigma_{c_q=0}(\omega_l; x)$  в зависимости от соотношения  $\lambda_l$  и  $2\delta_{c_q}(x)$ .

Таким образом, для волны фиксированной частоты имеются два разнонаправленных влияния отсоса газа из пограничного слоя на интегральное усиление: с одной стороны, уменьшение инкрементов роста в окрестности максимума, с другой стороны, расширение области неустойчивости за счет подстройки частоты возмущения под изменившуюся толщину пограничного слоя.

Семейство кривых интегрального усиления для всех рассмотренных частот неустойчивых волн второй моды показано на рис. 4 (для случая максимальной интенсивности отсоса представлены также кривые усиления для волн фиксированной частоты). Видно, что в области действия отсоса происходит смещение огибающей  $N$ -факторов в сторону больших значений, а эффект стабилизации наблюдается в области  $x > 1$ . При этом, если выбрать в качестве критерия начала ламинарно-турбулентного перехода  $N_{cr} = 10$ , можно ожидать смещение положения перехода от  $x_{tr} = 0.9$  для случая без отсоса до  $x_{tr} = 0.52$  для отсоса максимальной интенсивности. Данный результат можно назвать аномальным с той точки зрения, что до настоящего времени принято было считать, опираясь в основном на данные для дозвуковых пограничных слоев, что отсос пограничного газа приводит к равномерной стабилизации.



**Рис. 4.** Кривые интегрального усиления ( $N$ -факторы) для всех рассмотренных неустойчивых волн над пластиной с отсосом различных интенсивностей  $c_q = 0.0, 0.4, 0.8$ . Вертикальные линии отмечают начало и конец участка отсоса.

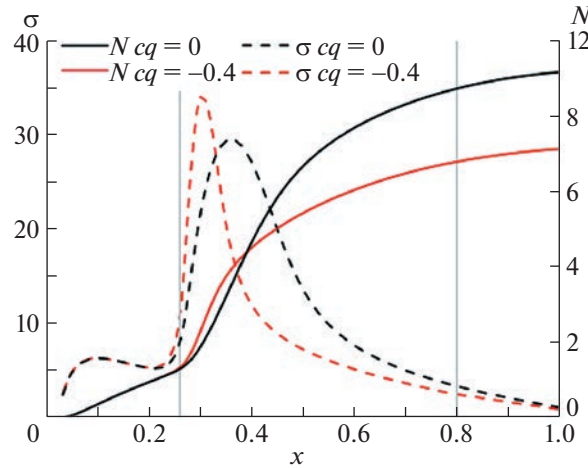


**Рис. 5.** Толщина вытеснения для случаев  $c_q = \{0.0, 0.4, 0.8\}$ .

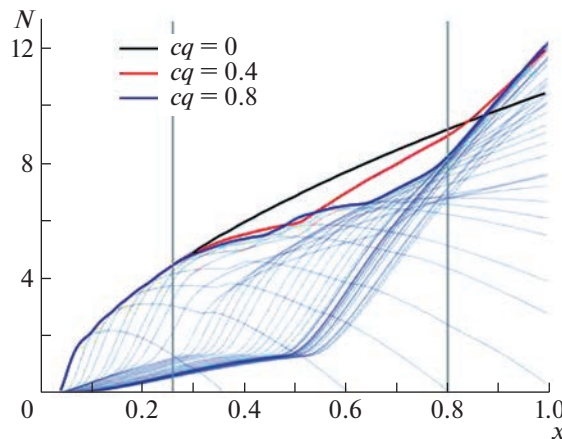
## РАСЧЕТЫ УСТОЙЧИВОСТИ ДЛЯ СЛУЧАЯ ВЫДУВА ГАЗА В ПОГРАНИЧНЫЙ СЛОЙ

Производились расчеты ламинарного обтекания пластины с участком отсоса пограничного слоя интенсивностью  $c_q = \{0.0; 0.4; 0.8\}$ . На рис. 5 представлено влияние выдува газа на толщину вытеснения пограничного слоя.

Основной физический механизм изменения инкрементов роста волн неустойчивостей пограничного слоя при наличии выдува в пограничный слой аналогичен рассмотренному выше механизму подстройки неустойчивых возмущений под изменившуюся толщину пограничного слоя. Данный факт более подробно иллюстрирует рис. 6, на котором представлено сравнение инкрементов роста возмущения фиксированной частоты  $v^* = 115$  кГц для случая без выдува и с выдувом интенсивностью  $c_q = 0.4$ . Видно, что для относительно высокочастотных возмущений из-за увеличения толщины пограничного слоя происходит сужение области усиления, хотя и наблюдается некоторое увеличение максимума инкрементов роста. В итоге для высокочастотной части спектра неустойчивых возмущений наблюдается стабилизация пограничного слоя, тогда как для низкочастотной части спектра происходит дестабилизация пограничного слоя в области вниз по потоку от точки окончания действия выдува газа в пограничный слой.



**Рис. 6.** Распределение инкрементов роста  $\sigma$  и интегрального усиления ( $N$ -фактора) неустойчивой волны второй моды с частотой  $v^* = 115$  кГц при распространении над пластиною без отсоса ( $c_q = 0.0$ ) и над участком с коэффициентом выдува  $c_q = 0.4$ . Вертикальные линии отмечают начало и конец участка с выдувом.



**Рис. 7.** Кривые интегрального усиления ( $N$ -факторы) для всех рассмотренных неустойчивых волн над пластиною с выдувом различных интенсивностей  $c_q = 0.0, 0.4, 0.8$ . Вертикальные линии отмечают начало и конец участка выдува.

Данный эффект иллюстрирует рис. 7, где представлены огибающие  $N$ -факторов для всех рассмотренных случаев выдува (для случая максимальной интенсивности выдува также представлены кривые усиления для фиксированных частот возмущений). Видно, что в области действия выдува огибающие  $N$ -факторов уменьшаются по сравнению со случаем без выдува, но вниз по потоку от точки окончания действия выдува наблюдается достаточно интенсивная дестабилизация пограничного слоя. Интересно отметить, что при выборе критического значения  $N$ -фактора  $N_{cr} = 10$ , точка начала ламинарно-турбулентного перехода практически не изменяется по мере увеличения интенсивности выдува. Для меньших значений  $N$ -фактора наблюдается затягивание ламинарно-турбулентного перехода по мере увеличения интенсивности выдува, что может быть использовано для практических приложений.

## ЗАКЛЮЧЕНИЕ

Выполнены исследования устойчивости пограничного слоя над плоской пластиною с участком выдува/отсоса газа через стенку при обтекании сверхзвуковым потоком  $M_\infty = 6$ . В рамках локально-параллельного приближения линейной теории устойчивости и  $e^N$  метода рассчитаны

инкременты нарастания и интегральные усиления плоских волн различных частот, относящихся ко второй моде Мэка пограничного слоя, которая является доминирующим типом неустойчивости на рассматриваемом режиме.

Показано, что неустойчивости над участком отсоса в широком диапазоне частот усиливаются слабее, чем в случае без отсоса, что распространяет известный эффект стабилизации пограничного слоя с помощью системы отсоса на случай высоких скоростей. Однако для высокочастотной части спектра неустойчивых возмущений отсос пограничного слоя приводит к увеличению области усиления и интегральных факторов роста. Этот аномальный эффект необходимо учитывать при разработке активных систем управления ламинарно-турбулентным переходом для достаточно больших сверхзвуковых скоростей. Для выдува газа в пограничный слой наблюдается обратный эффект – в области действия выдува реализуется стабилизация пограничного слоя, однако вниз по потоку от точки окончания действия выдува наблюдается дестабилизация. В частности, оказывается возможным при помощи выдува газа затягивать положение ламинарно-турбулентного перехода при правильном подборе распределенного выдува. Данный факт может быть полезен при разработке высокоскоростных летательных аппаратов, где выдув газа в пограничный слой реализовать проще, чем отсос горячего газа из пограничного слоя. В данной работе выдуваемый газ имел ту же температуру, что и локальная температура газа. С практической точки зрения представляет интерес расчетов влияния выдува относительно холодного газа в пограничный слой на характеристики устойчивости. Это составляет предмет дальнейших исследований в данной области.

Исследования выполнены при финансовой поддержке Российского научного фонда (проект 19-19-00470).

## СПИСОК ЛИТЕРАТУРЫ

1. *Joslin R.D.* Overview of Laminar Flow Control // NASA Technical Paper NASA/TP-1998-208705. 1998.
2. *Mack L.M.* On the Inviscid Acoustic-Mode Instability of Supersonic Shear Flows. Part I: Two-Dimensional Waves // AIAA J. V. 27. № 11. November 1989. P. 1487–1493.
3. *Mack L.M.* Boundary-Layer Stability Theory // Special Course on Stability and Transition of laminar Flow/ Ed by R. Michel, AGARD Report. 1984. № 709. P. 3-1 to 3-81.
4. *Kimmel R.L.* Aspects of Hypersonic Boundary-Layer Transition Control // 41st Aerospace Sciences Meeting and Exhibit 6–9 January 2003, Reno, Nevada, AIAA Paper № 2003-772.
5. *Malik M.R.* Prediction and Control of Transition in Supersonic and Hypersonic Boundary layers // AIAA J. V. 27. № 11. November 1989. P. 1487–1493.
6. *Al-Maaitah A.A., Nayfeh A.H., Masad J.A.* Effect of Suction on the Stability of Supersonic Boundary Layers. Part I – Second-Mode Waves // Journal of Fluids Engineering Dec. 1991. V. 113(4). P. 591–597.  
<https://doi.org/10.1115/1.2926520>
7. *Balakumar P.* Control of Supersonic Boundary Layers Using Steady Suction // 36th AIAA Fluid Dynamics Conference and Exhibit, Conference Paper 20060022120.
8. Егоров И.В., Новиков А.В., Фёдоров А.В. Прямое численное моделирование ламинарно-турбулентного перехода при гиперзвуковых скоростях потока на супер-ЭВМ // ЖВМиМФ. 2017. Т. 57. № 8. С. 1347–1373.  
<https://doi.org/10.7868/S0044466917080063>
9. Образ А.О., Фёдоров А.В. Пакет программ HSFS для анализа устойчивости сжимаемых пограничных слоев. // Уч. зап. ЦАГИ. 2017. Т. XLVIII. № 3. С. 11–28.  
<https://doi.org/10.1615/TsAGISciJ.2017022797>
10. *Bountin D., Chimitov T., Maslov A., Novikov A., Egorov I., Fedorov A., Utyuzhnikov S.* Stabilization of a hypersonic boundary layer using a wavy surface // AIAA J. 2013. V. 51. № 5. P. 1203–1210.  
<https://doi.org/10.2514/1.J052044>
11. Шлихтинг Г. Теория пограничного слоя. М.: Наука, 1974. 703 с.